

# Starkniederschlagshöhen und -spenden gemäß KOSTRA-DWD-2020

## Rasterfeld 142089

(Zeile 142, Spalte 89)

### Regenspende und Bemessungsniederschlagswerte in Abhängigkeit von Wiederkehrzeit T und Dauerstufe D

| Dauerstufe D |     | Wiederkehrzeit T |            |      |            |      |            |      |            |       |            |       |            |       |            |       |            |       |            |
|--------------|-----|------------------|------------|------|------------|------|------------|------|------------|-------|------------|-------|------------|-------|------------|-------|------------|-------|------------|
|              |     | 1 a              |            | 2 a  |            | 3 a  |            | 5 a  |            | 10 a  |            | 20 a  |            | 30 a  |            | 50 a  |            | 100 a |            |
| min          | Std | mm               | l / (s ha) | mm   | l / (s ha) | mm   | l / (s ha) | mm   | l / (s ha) | mm    | l / (s ha) | mm    | l / (s ha) | mm    | l / (s ha) | mm    | l / (s ha) | mm    | l / (s ha) |
| 5            |     | 5,9              | 196,7      | 7,2  | 240,0      | 8,0  | 266,7      | 9,1  | 303,3      | 10,6  | 353,3      | 12,2  | 406,7      | 13,3  | 443,3      | 14,6  | 486,7      | 16,6  | 553,3      |
| 10           |     | 7,9              | 131,7      | 9,7  | 161,7      | 10,8 | 180,0      | 12,2 | 203,3      | 14,3  | 238,3      | 16,4  | 273,3      | 17,8  | 296,7      | 19,6  | 326,7      | 22,3  | 371,7      |
| 15           |     | 9,2              | 102,2      | 11,2 | 124,4      | 12,5 | 138,9      | 14,2 | 157,8      | 16,6  | 184,4      | 19,0  | 211,1      | 20,7  | 230,0      | 22,8  | 253,3      | 25,8  | 286,7      |
| 20           |     | 10,1             | 84,2       | 12,4 | 103,3      | 13,8 | 115,0      | 15,6 | 130,0      | 18,3  | 152,5      | 21,0  | 175,0      | 22,8  | 190,0      | 25,1  | 209,2      | 28,5  | 237,5      |
| 30           |     | 11,5             | 63,9       | 14,1 | 78,3       | 15,7 | 87,2       | 17,8 | 98,9       | 20,8  | 115,6      | 23,9  | 132,8      | 25,9  | 143,9      | 28,6  | 158,9      | 32,4  | 180,0      |
| 45           |     | 13,0             | 48,1       | 15,9 | 58,9       | 17,7 | 65,6       | 20,1 | 74,4       | 23,5  | 87,0       | 27,0  | 100,0      | 29,3  | 108,5      | 32,3  | 119,6      | 36,7  | 135,9      |
| 60           | 1   | 14,1             | 39,2       | 17,3 | 48,1       | 19,3 | 53,6       | 21,9 | 60,8       | 25,6  | 71,1       | 29,4  | 81,7       | 31,9  | 88,6       | 35,2  | 97,8       | 39,9  | 110,8      |
| 90           | 1,5 | 15,9             | 29,4       | 19,4 | 35,9       | 21,6 | 40,0       | 24,5 | 45,4       | 28,7  | 53,1       | 33,0  | 61,1       | 35,8  | 66,3       | 39,5  | 73,1       | 44,8  | 83,0       |
| 120          | 2   | 17,2             | 23,9       | 21,1 | 29,3       | 23,4 | 32,5       | 26,6 | 36,9       | 31,1  | 43,2       | 35,7  | 49,6       | 38,8  | 53,9       | 42,8  | 59,4       | 48,5  | 67,4       |
| 180          | 3   | 19,2             | 17,8       | 23,5 | 21,8       | 26,2 | 24,3       | 29,7 | 27,5       | 34,8  | 32,2       | 40,0  | 37,0       | 43,4  | 40,2       | 47,8  | 44,3       | 54,2  | 50,2       |
| 240          | 4   | 20,8             | 14,4       | 25,5 | 17,7       | 28,3 | 19,7       | 32,1 | 22,3       | 37,6  | 26,1       | 43,2  | 30,0       | 46,9  | 32,6       | 51,7  | 35,9       | 58,7  | 40,8       |
| 360          | 6   | 23,2             | 10,7       | 28,4 | 13,1       | 31,6 | 14,6       | 35,9 | 16,6       | 42,0  | 19,4       | 48,2  | 22,3       | 52,3  | 24,2       | 57,7  | 26,7       | 65,5  | 30,3       |
| 540          | 9   | 25,9             | 8,0        | 31,7 | 9,8        | 35,3 | 10,9       | 40,0 | 12,3       | 46,8  | 14,4       | 53,8  | 16,6       | 58,4  | 18,0       | 64,4  | 19,9       | 73,0  | 22,5       |
| 720          | 12  | 28,0             | 6,5        | 34,2 | 7,9        | 38,1 | 8,8        | 43,2 | 10,0       | 50,5  | 11,7       | 58,1  | 13,4       | 63,1  | 14,6       | 69,5  | 16,1       | 78,9  | 18,3       |
| 1080         | 18  | 31,2             | 4,8        | 38,1 | 5,9        | 42,5 | 6,6        | 48,1 | 7,4        | 56,3  | 8,7        | 64,8  | 10,0       | 70,3  | 10,8       | 77,5  | 12,0       | 87,9  | 13,6       |
| 1440         | 24  | 33,7             | 3,9        | 41,2 | 4,8        | 45,9 | 5,3        | 52,0 | 6,0        | 60,8  | 7,0        | 69,9  | 8,1        | 75,9  | 8,8        | 83,7  | 9,7        | 94,9  | 11,0       |
| 2880         | 48  | 40,5             | 2,3        | 49,5 | 2,9        | 55,2 | 3,2        | 62,5 | 3,6        | 73,1  | 4,2        | 84,1  | 4,9        | 91,3  | 5,3        | 100,7 | 5,8        | 114,1 | 6,6        |
| 4320         | 72  | 45,1             | 1,7        | 55,2 | 2,1        | 61,4 | 2,4        | 69,7 | 2,7        | 81,5  | 3,1        | 93,7  | 3,6        | 101,7 | 3,9        | 112,1 | 4,3        | 127,1 | 4,9        |
| 5760         | 96  | 48,7             | 1,4        | 59,6 | 1,7        | 66,3 | 1,9        | 75,2 | 2,2        | 88,0  | 2,5        | 101,1 | 2,9        | 109,8 | 3,2        | 121,0 | 3,5        | 137,2 | 4,0        |
| 7200         | 120 | 51,7             | 1,2        | 63,2 | 1,5        | 70,4 | 1,6        | 79,8 | 1,8        | 93,3  | 2,2        | 107,3 | 2,5        | 116,5 | 2,7        | 128,4 | 3,0        | 145,6 | 3,4        |
| 8640         | 144 | 54,2             | 1,0        | 66,4 | 1,3        | 73,9 | 1,4        | 83,7 | 1,6        | 98,0  | 1,9        | 112,6 | 2,2        | 122,2 | 2,4        | 134,8 | 2,6        | 152,9 | 2,9        |
| 10080        | 168 | 56,5             | 0,9        | 69,1 | 1,1        | 77,0 | 1,3        | 87,3 | 1,4        | 102,1 | 1,7        | 117,4 | 1,9        | 127,4 | 2,1        | 140,5 | 2,3        | 159,3 | 2,6        |

# Starkniederschlagshöhen und -spenden gemäß KOSTRA-DWD-2020

## Rasterfeld 142089

(Zeile 142, Spalte 89)

### Örtliche Unsicherheiten in Abhängigkeit von Wiederkehrzeit T und Dauerstufe D

| Dauerstufe D |     | Wiederkehrzeit T |     |     |     |      |      |      |      |       |
|--------------|-----|------------------|-----|-----|-----|------|------|------|------|-------|
|              |     | 1 a              | 2 a | 3 a | 5 a | 10 a | 20 a | 30 a | 50 a | 100 a |
| min          | Std | ± %              | ± % | ± % | ± % | ± %  | ± %  | ± %  | ± %  | ± %   |
| 5            |     | 11               | 11  | 11  | 12  | 12   | 13   | 13   | 13   | 14    |
| 10           |     | 12               | 13  | 14  | 15  | 16   | 17   | 17   | 18   | 18    |
| 15           |     | 14               | 15  | 16  | 17  | 18   | 19   | 19   | 20   | 20    |
| 20           |     | 15               | 16  | 17  | 18  | 19   | 20   | 21   | 21   | 22    |
| 30           |     | 16               | 17  | 18  | 19  | 20   | 21   | 22   | 22   | 23    |
| 45           |     | 16               | 18  | 19  | 20  | 21   | 22   | 22   | 23   | 23    |
| 60           | 1   | 16               | 18  | 18  | 19  | 21   | 21   | 22   | 22   | 23    |
| 90           | 1,5 | 15               | 17  | 18  | 19  | 20   | 21   | 21   | 22   | 23    |
| 120          | 2   | 14               | 16  | 17  | 18  | 19   | 20   | 21   | 21   | 22    |
| 180          | 3   | 13               | 15  | 16  | 17  | 18   | 19   | 20   | 20   | 21    |
| 240          | 4   | 13               | 15  | 15  | 17  | 18   | 18   | 19   | 19   | 20    |
| 360          | 6   | 12               | 14  | 14  | 15  | 16   | 17   | 18   | 18   | 19    |
| 540          | 9   | 11               | 13  | 13  | 14  | 15   | 16   | 17   | 17   | 18    |
| 720          | 12  | 10               | 12  | 13  | 14  | 15   | 15   | 16   | 16   | 17    |
| 1080         | 18  | 10               | 11  | 12  | 13  | 14   | 14   | 15   | 15   | 16    |
| 1440         | 24  | 10               | 11  | 11  | 12  | 13   | 14   | 14   | 15   | 15    |
| 2880         | 48  | 11               | 11  | 11  | 12  | 12   | 13   | 13   | 13   | 14    |
| 4320         | 72  | 12               | 11  | 12  | 12  | 12   | 13   | 13   | 13   | 14    |
| 5760         | 96  | 12               | 12  | 12  | 12  | 12   | 13   | 13   | 13   | 14    |
| 7200         | 120 | 13               | 13  | 13  | 13  | 13   | 13   | 13   | 13   | 14    |
| 8640         | 144 | 14               | 13  | 13  | 13  | 13   | 13   | 13   | 14   | 14    |
| 10080        | 168 | 14               | 14  | 14  | 13  | 13   | 14   | 14   | 14   | 14    |

### Parameter für abweichende T und D

#### Lokationsparameter $\xi$ (Xi)

14,49127247

#### Skalenparameter $\alpha$ (Alpha)

4,50886885

#### Formparameter $\kappa$ (Kappa)

-0,1

#### 1. Koutsoyiannis-Parameter $\theta$ (Theta)

0,03223092

#### 2. Koutsoyiannis-Parameter $\eta$ (Eta)

0,73432537

Parameter für dauerstufenübergreifende Extremwertschätzung nach KOUTSOYIANNIS et al. 1998.

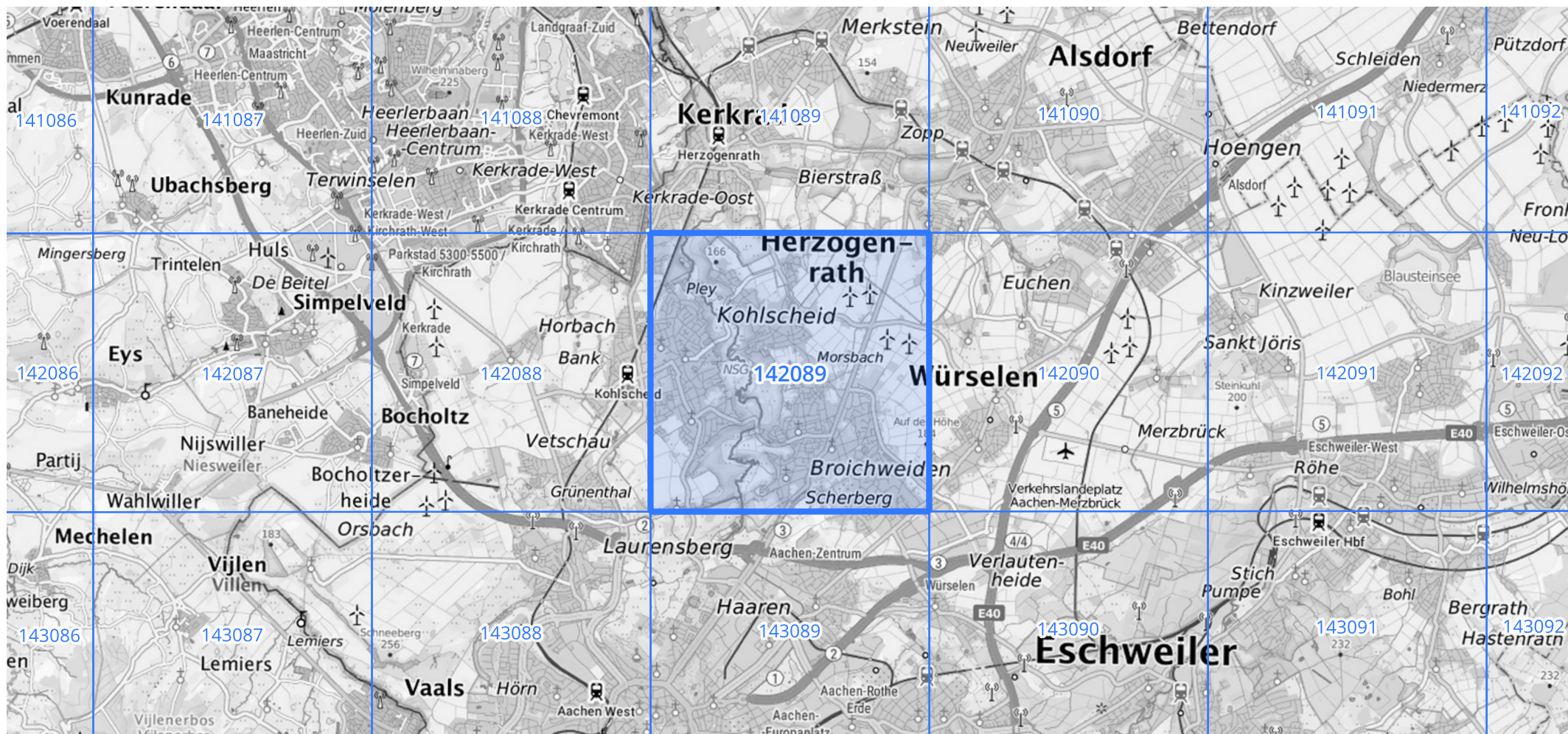
Siehe auch Anwendungshilfe zu KOSTRA-DWD-2020 des Deutschen Wetterdienstes.

## Starkniederschlagshöhen und -spenden gemäß KOSTRA-DWD-2020

## Rasterfeld 142089

(Zeile 142, Spalte 89)

## Übersichtskarte des Rasterfeldes 142089, M 1 : 100 000



Quelle Rasterdaten: KOSTRA-DWD-2020 des Deutschen Wetterdienstes, Stand 12/2022.

Seite 3 von 3

Kartendarstellung: © Bundesamt für Kartographie und Geodäsie (2023), Datenquellen: [https://sgx.geodatenzentrum.de/web\\_public/gdz/datenquellen/Datenquellen\\_TopPlusOpen.html](https://sgx.geodatenzentrum.de/web_public/gdz/datenquellen/Datenquellen_TopPlusOpen.html)

Für die Richtigkeit und Aktualität der Angaben wird keine Gewähr übernommen. Erstellt 01/2023.